



縦磁界下における磁束運動シミュレーション

名古屋大学 吉田研究室

○足立健人、一野祐亮、吉田隆
(卒業生：伊藤慎太郎、松田圭介)

研究背景

■ BaHfO₃添加SmBa₂Cu₃O_y薄膜

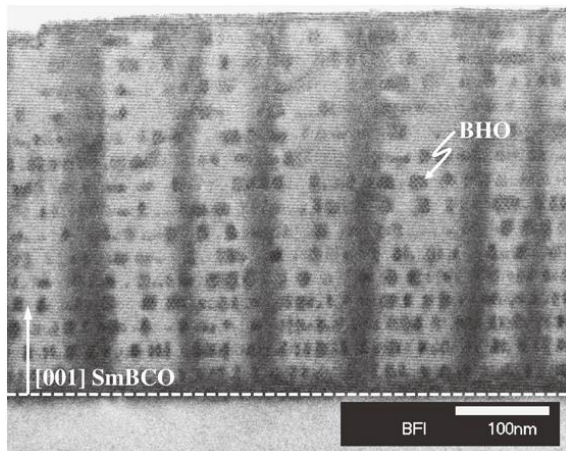


Fig. BaHfO₃添加SmBa₂Cu₃O_y積層薄膜の断面TEM像 [1]

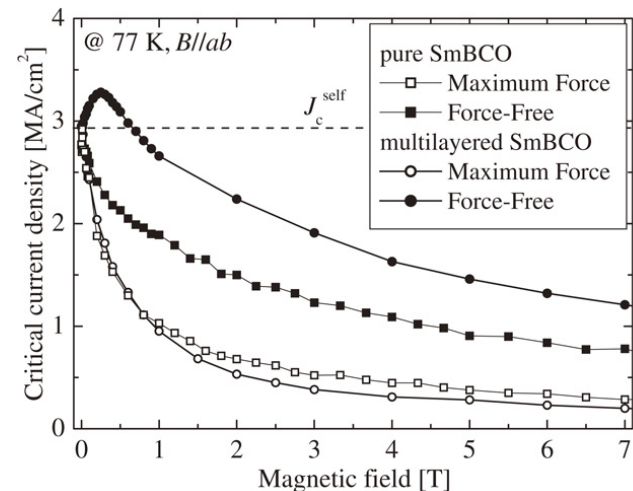


Fig. SmBa₂Cu₃O_y薄膜の77 K, B//aにおけるJ_cの磁場依存性 [1]

◎本研究室では、縦磁界下における積層薄膜について、より詳細な実験を行っている[2]

研究目的

縦磁界下における、超伝導体内の磁束線運動を可視化する
⇒3次元TDGL方程式を用いた数値シミュレーション

Time Dependent Ginzburg-Landau (TDGL) 方程式

TDGL方程式 ⇒ 超伝導と磁場の共存する状態の時間発展

$$\begin{cases} \frac{\partial \Delta(\mathbf{r}, t)}{\partial t} = -\frac{1}{12} \left[\left(\frac{\nabla}{i} - \mathbf{A}(\mathbf{r}, t) \right)^2 \Delta(\mathbf{r}, t) - (1 - T)(\alpha + \beta |\Delta(\mathbf{r}, t)|^2) \Delta(\mathbf{r}, t) \right] \\ \frac{\partial \mathbf{A}(\mathbf{r}, t)}{\partial t} = (1 - T) \text{Re} \left[\Delta^*(\bar{\mathbf{r}}, \bar{t}) \left(\frac{\nabla}{i} - \mathbf{A}(\mathbf{r}, t) \right) \Delta(\mathbf{r}, t) \right] - \kappa^2 \nabla \times \nabla \times \mathbf{A}(\mathbf{r}, t) \end{cases}$$

[Δ : オーダーパラメータ, \mathbf{A} : ベクトルポテンシャル]

➤ 無次元化定数

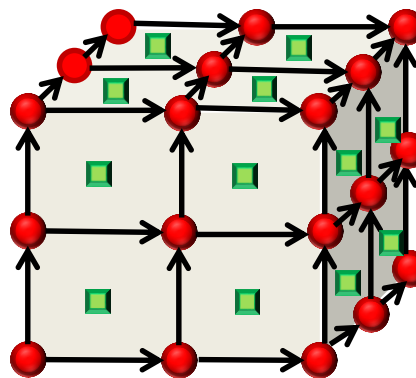
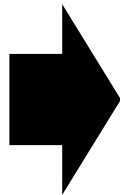
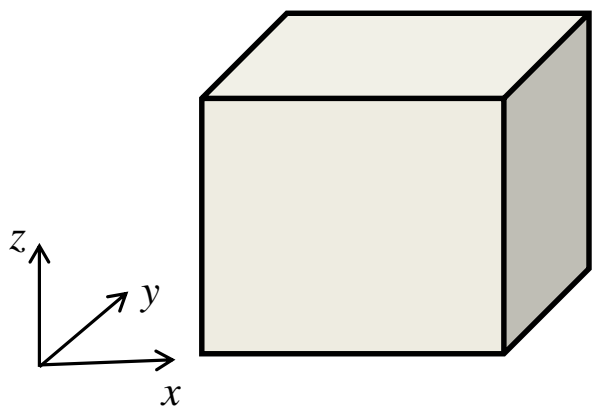
$$A = H_{c20}, \Delta = |\Delta_\infty|^2, x, y, z = \xi_0, t = \frac{4\pi\sigma\xi_0\kappa^2}{c^2}, H = H_{c20}, J = J_{d0}, T = T_c$$

パラメータ ⇒ 任意にピンニングセンターの配置が可能 (形状、種類)

$$\alpha = \begin{cases} -1 & \text{: 超伝導} \\ \left(\frac{\xi_0}{\xi_n} \right)^2 = \alpha_n & \text{: 常伝導} \end{cases} \quad \beta = \begin{cases} 1 & \text{: 超伝導} \\ 0 & \text{: 常伝導} \end{cases}$$

超伝導体のモデリング (離散モデル化)

TDGL方程式を離散化



● : オーダーパラメータ
→ : ベクトルポテンシャル
■ : 磁束密度

Fig. 超伝導体の離散モデル化

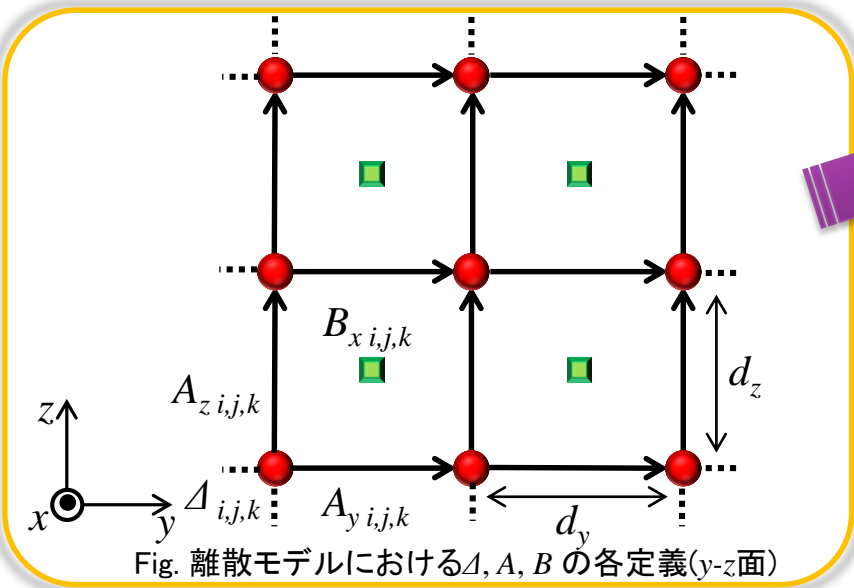


Fig. 離散モデルにおける Δ , A , B の各定義 (y - z 面)

オーダーパラメータ Δ : 格子点
 ベクトルポテンシャル A : 格子間
 磁束密度 B : 格子の中心

- ✓ 差分法
- ✓ 磁束密度

$$B_{x\ i,j,k} = \text{rot}(A)_x$$

- ✓ リンク変数の導入 (ベクトルポテンシャル)

$$U_{x\ i,j,k} = \exp(-id_x A_{x\ i,j,k})$$

数値シミュレーション条件

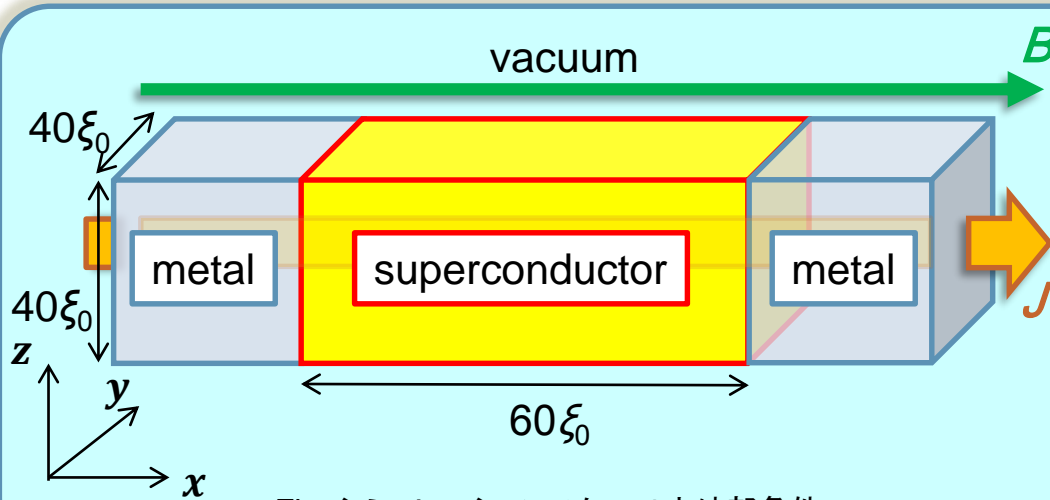


Fig. シミュレーションスケールと外部条件

◆ x方向境界条件

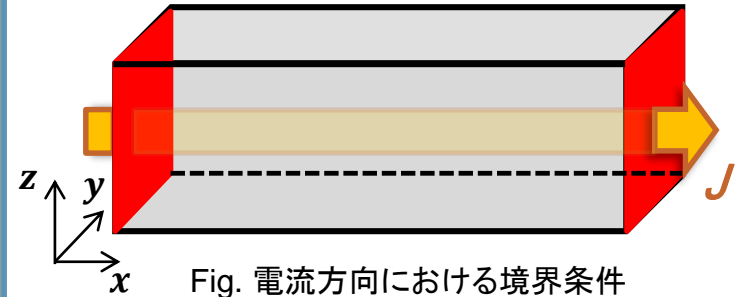


Fig. 電流方向における境界条件

➤ ノイマン境界条件を適用

◆ 外部条件

Table 材料条件及び外部条件

サイズ	$60\xi_0 \times 30\xi_0 \times 30\xi_0$
材料	$\kappa = \lambda_0 / \xi_0 = 3$
境界	$\left\{ \begin{array}{l} x\text{方向: 金属境界} \\ y, z\text{方向: 真空境界} \end{array} \right.$
温度	$0.5T_c$
外部磁界	$0.15B_{c2(0)}$

➤ 格子点数

$$(N_x + 1) \times (N_y + 1) \times (N_z + 1) = 121 \times 61 \times 61$$

➤ 空間差分

$$dx = dy = dz = 0.5\xi_0$$

➤ 使用した言語と開発環境

・言語: C++

・開発環境: Microsoft Visual C++ 2010 express

四隅における磁場の影響

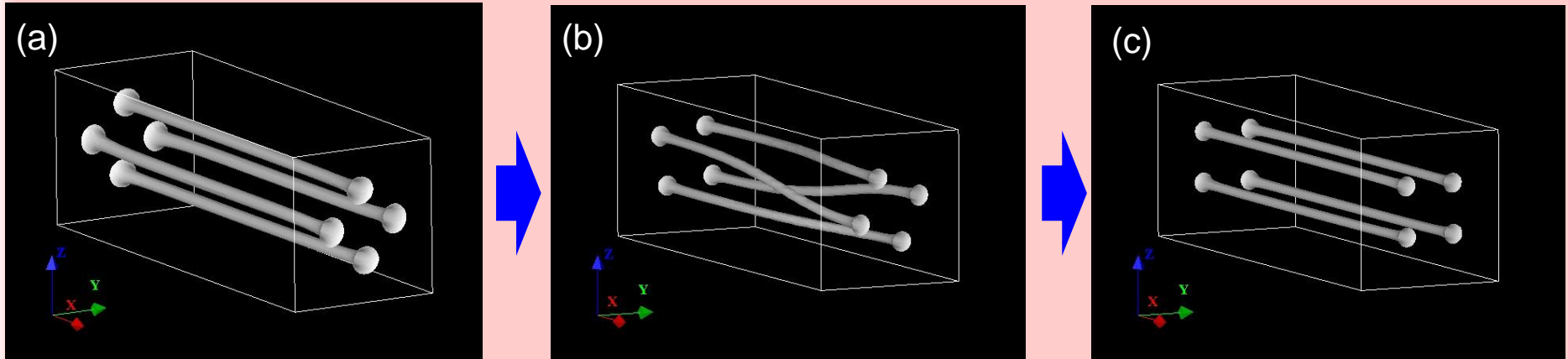


Fig. 磁束運動の様子 ((a) $J = 0$, (b) $J = 0.005111J_d$, (c) $J = 0.006222J_d$)

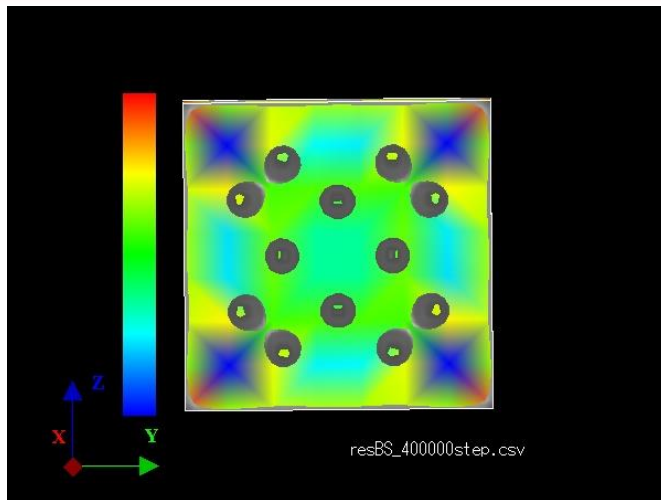


Fig. 磁場分布($B=0.30B_{c2}$)

磁束が端にトラップ



四隅の磁場が弱いことに起因？



端の影響を受けない形状への変更

シミュレーション形状の変更

➤ 実際の試料サイズでは、端の影響を無視できる

⇔ シミュレーションサイズでは、磁束運動が端の影響を大きく受ける

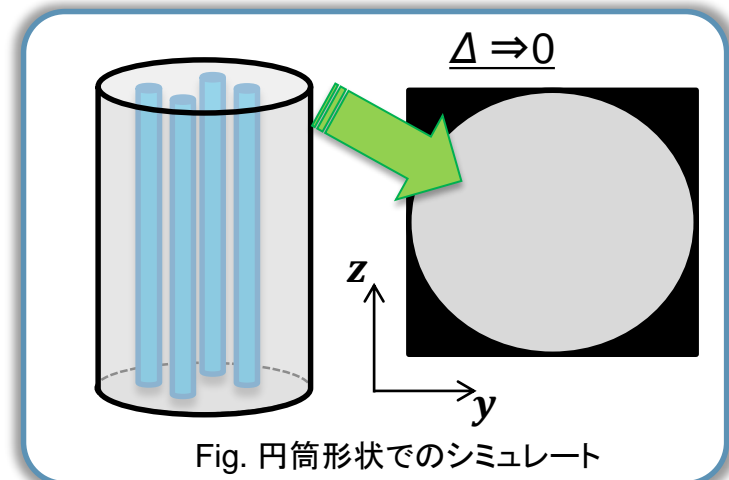
I. 計算領域を拡大

✓ 端の影響を小さくすることが可能

⇒ 計算コスト上昇、限度有

II. 円筒状に計算領域を変更

✓ 端の影響を排除可能



電流印加と結果の表示

◆ 電流印加方法

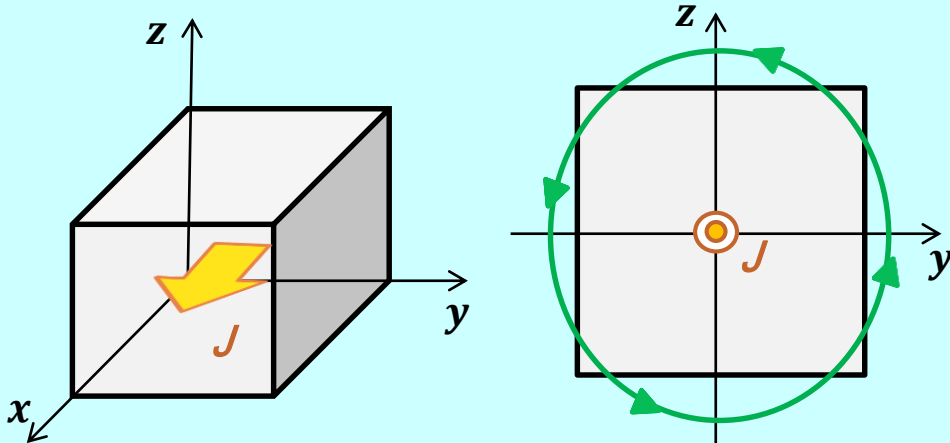


Fig. 電流印加方法(ビオサバールの法則によって自己磁場を算出し、外部磁場に加えることで電流密度 J が印加された状況を再現)

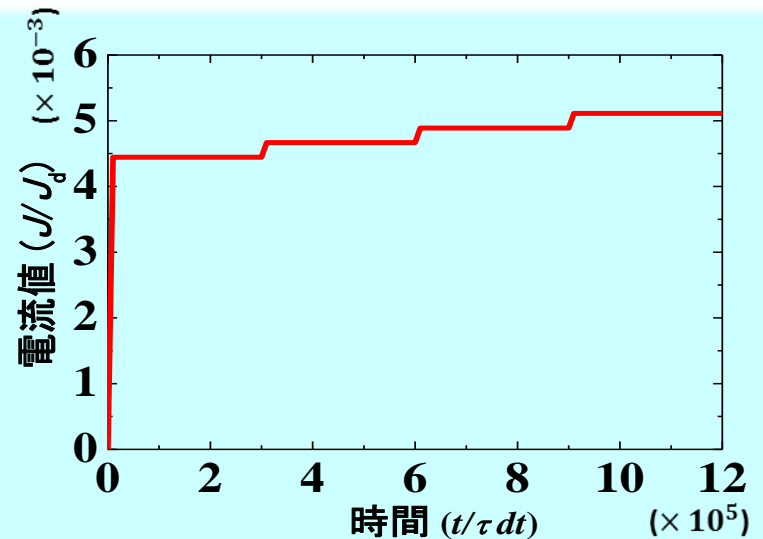


Fig. 印加電流の時間変化

◆ シミュレーション結果の表示方法

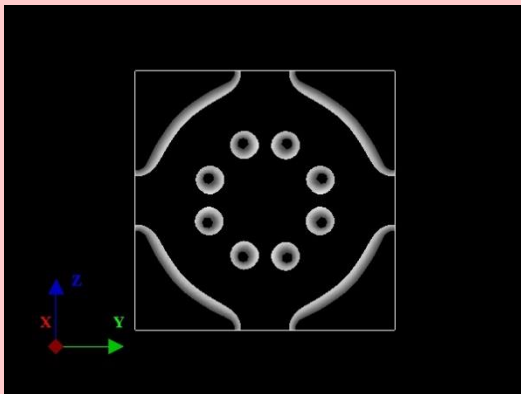


Fig. シミュレーション結果

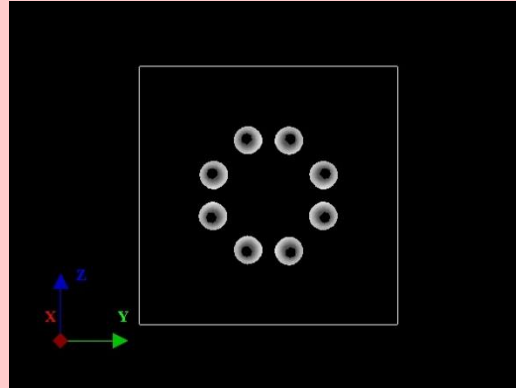


Fig. シミュレーション結果表示

- 結果を確認しやすく表示
円筒部から外: $|\Delta| = 1$
※結果の表示の際のみ

シミュレーション結果（形状変更）

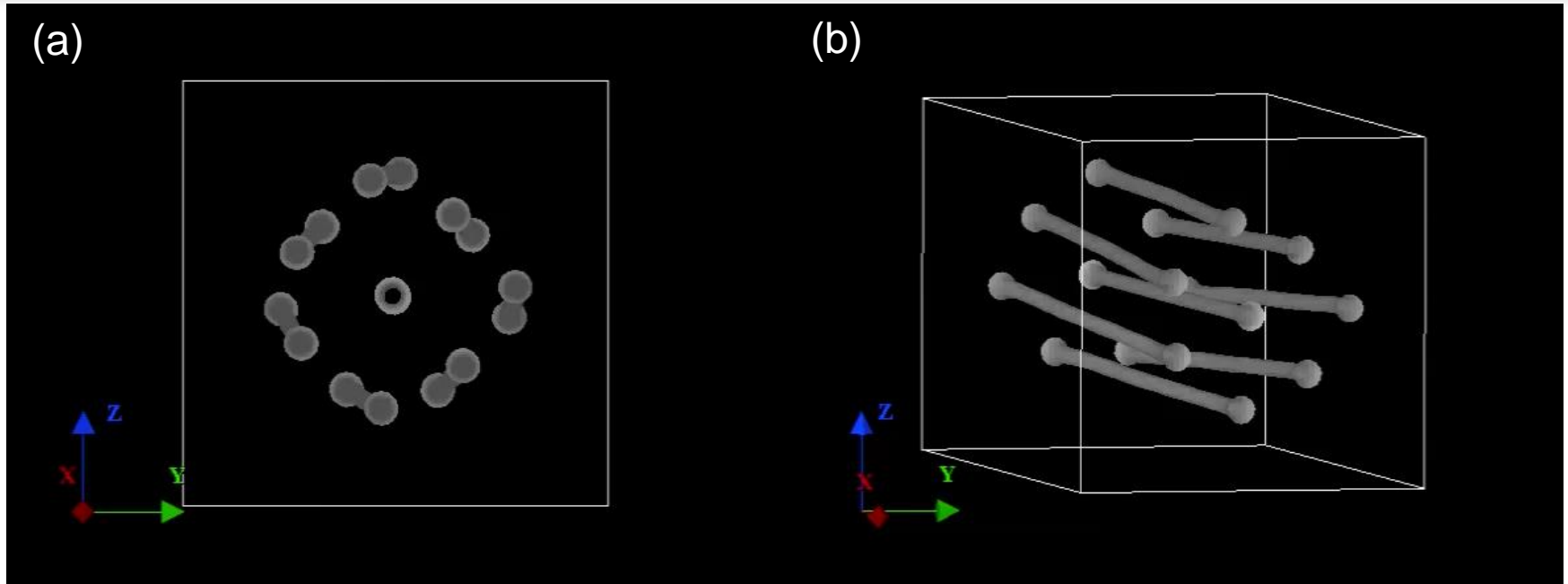


Fig. 縦磁界下における磁束線運動(a)正面(b)別角度

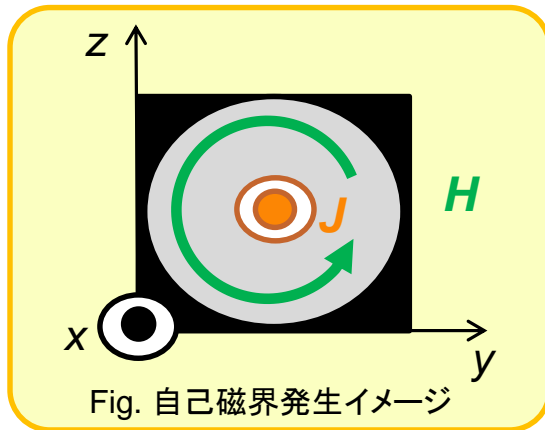


Fig. 自己磁界発生イメージ

四隅の影響をなくしたことで、
磁束がトラップされることなく、自己磁界方向へ傾く

問題点と課題

- ✓ 一定電流を十分な時間流す ⇒ **回転運動停止**
- ✓ 今後、より高い電流を印加する必要がある

今後の展望

◆ 領域の拡大

- ✓ 実際の試料サイズに近い系でのシミュレート
- ✓ 計算の高速化

◆ 人工ピンニングセンターの導入

- ✓ 人工ピンニングセンターを想定した場合の磁束運動を可視化
(実験においては、積層薄膜において J_c ピーク発現)
- ✓ 最適なピン形状の探索

◆ 縦磁界効果に関する考察

- ✓ 表面電界分布等